

# Transportně-reakční model vývoje důlních vod na uranovém ložisku

Josef Zeman

Masarykova univerzita, Přírodovědecká fakulta, Ústav geologických věd, Brno

Dílčí část projektu TH02030840 Paralelizovaný reakčně-transportní model šíření kontaminace v podzemních vodách:

P. Štropf, DHI, a. s. (hlavní řešitel), J. Šembera, TUL, N. Rapantová, VŠB-TU,

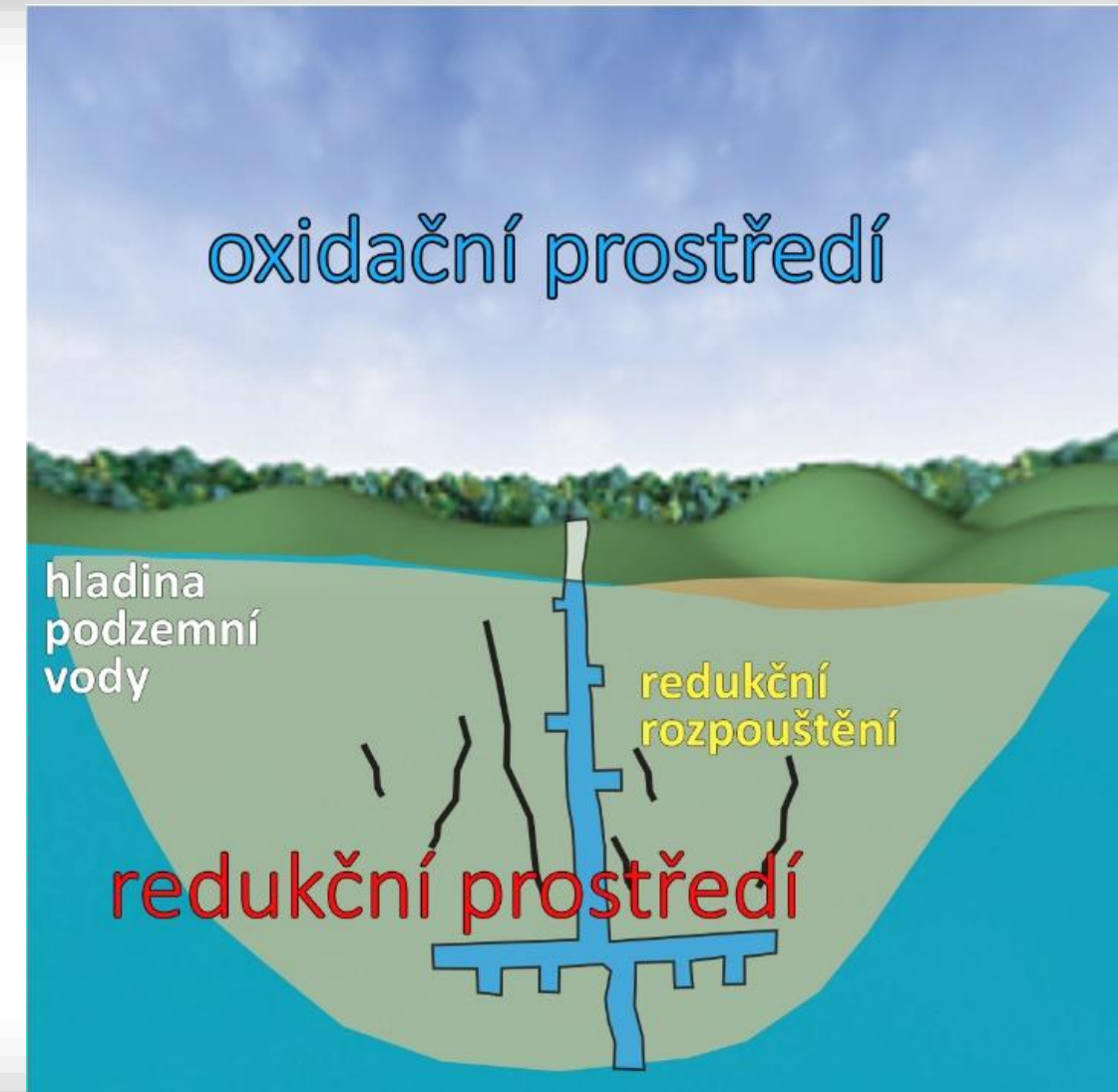
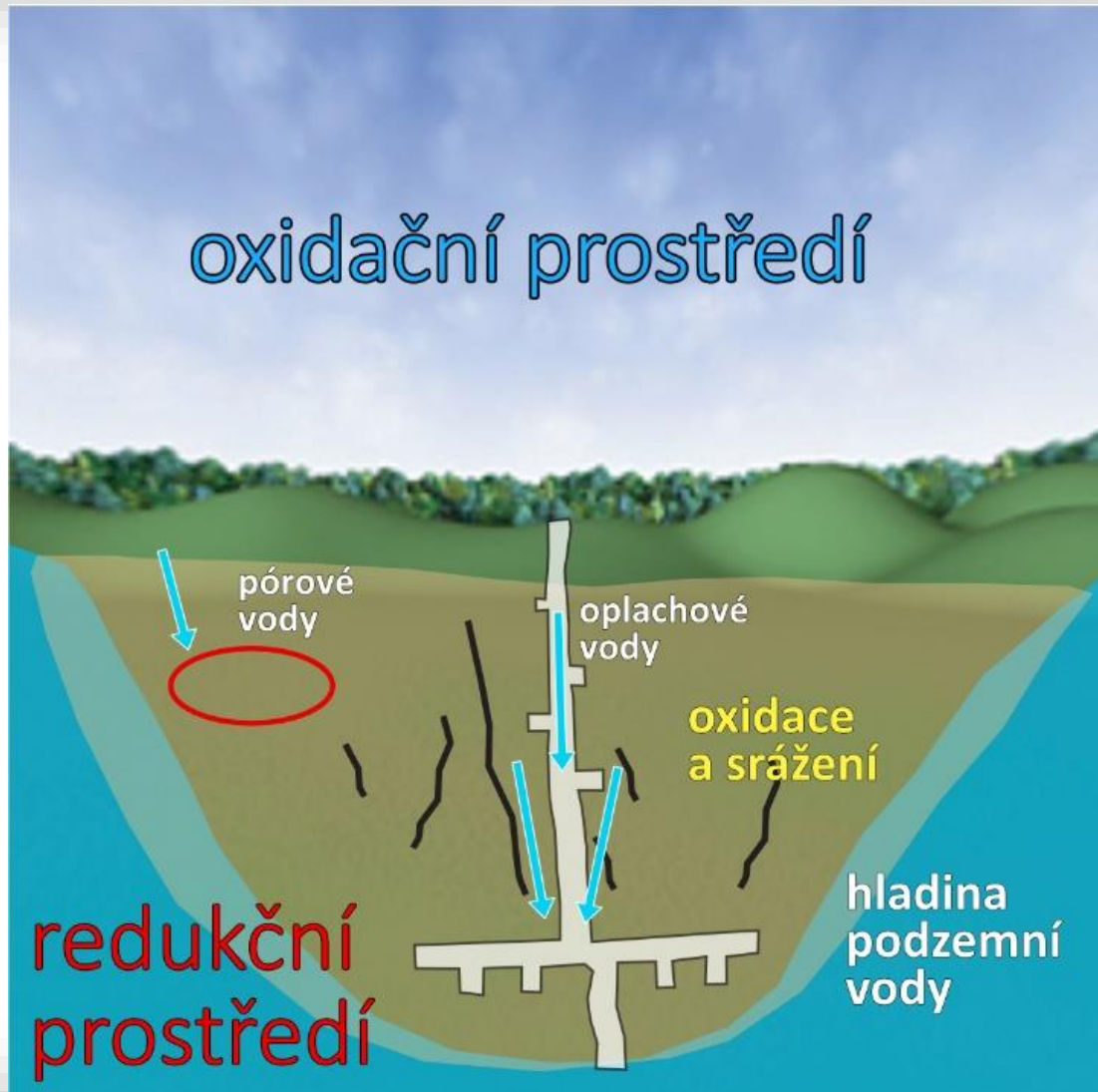
# Jednotlivé součásti modelů

- ❖ pohyb podzemní vody (hydrogeologie – transport)
- ❖ interakce voda-hornina-atmosféra (geochemie – reakční část)
- ❖ propojení: transportně-reakční modelování
- ❖ rychlosť interakcí: kinetika
- ❖ hlavní problém: časová náročnosť výpočtů

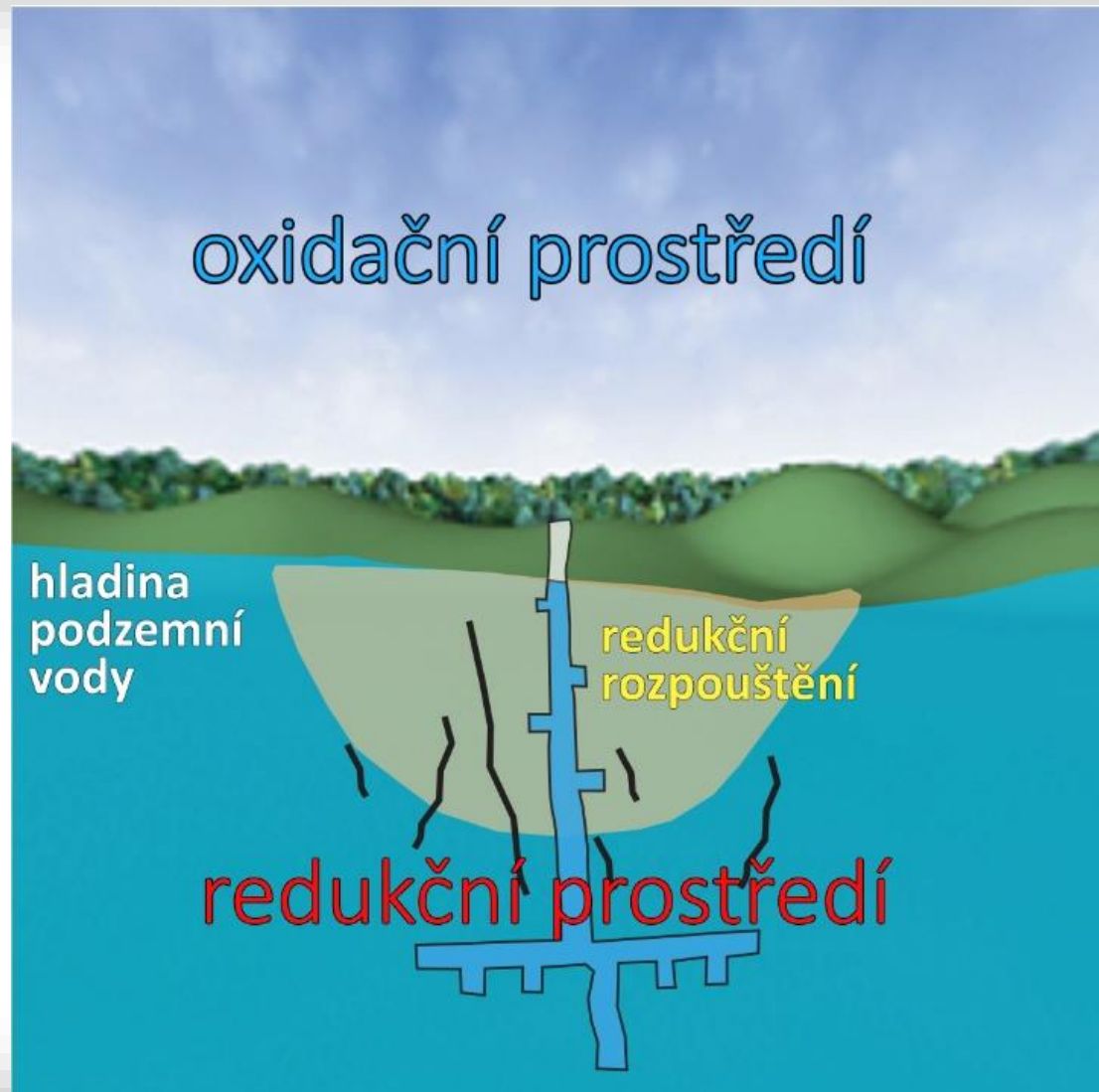
# Základní procesy



# Základní procesy



# Základní procesy



# Minerální složení a reakce

## ❖ Pyrit $\text{FeS}_2$

- ❖  $\text{FeS}_2$  (pyrit) +  $\text{H}_2\text{O}$  + 3,5  $\text{O}_2$ (aq) →  $\text{Fe}^{2+}$  + 2  $\text{SO}_4^{2-}$  + 2  $\text{H}^+$
- ❖  $\text{Fe}^{2+}$  + 1,5  $\text{H}_2\text{O}$  + 0,25  $\text{O}_2$ (aq) →  $\text{FeOOH}$  (goethit) + 2  $\text{H}^+$

## ❖ Kalcit $\text{CaCO}_3$

- ❖  $\text{CO}_2(\text{g}) \rightarrow \text{CO}_2(\text{aq})$
- ❖  $\text{CO}_2(\text{aq}) + \text{H}_2\text{O} \rightarrow \text{H}_2\text{CO}_3$
- ❖  $\text{H}_2\text{CO}_3 \rightarrow \text{H}^+ + \text{HCO}_3^-$
- ❖  $\text{HCO}_3^- \rightarrow \text{H}^+ + \text{CO}_3^{2-}$
- ❖  $\text{Ca}^{2+} + \text{CO}_3^{2-} \rightarrow \text{CaCO}_3$  (kalcit)

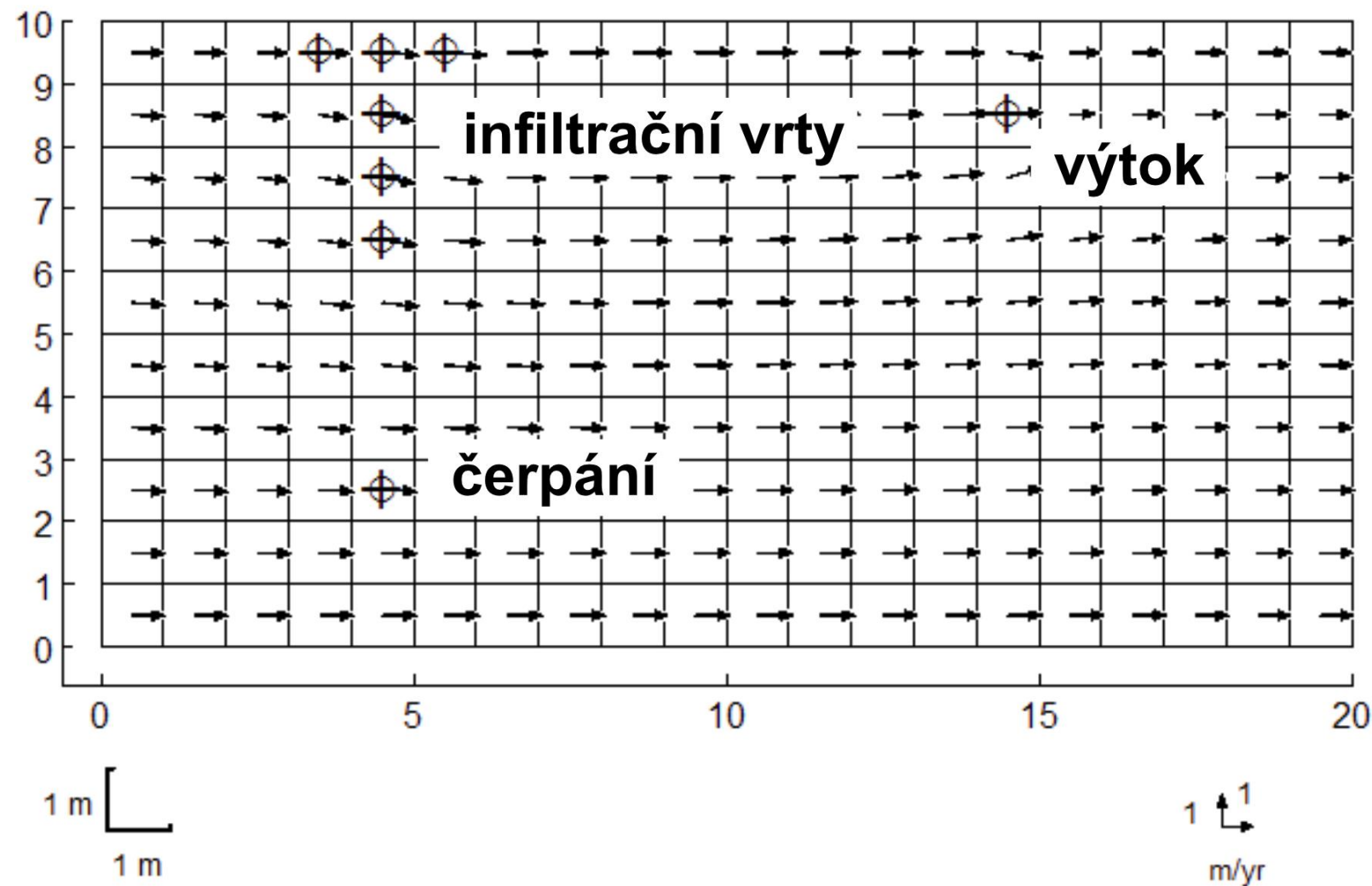
## ❖ Uraninit $\text{UO}_2$

- ❖  $\text{UO}_2$  (uraninit) + 2  $\text{H}^+$  + 0,5  $\text{O}_2$ (aq) →  $\text{H}_2\text{O}$  +  $\text{UO}_2^{2+}$

## ❖ Organické látky

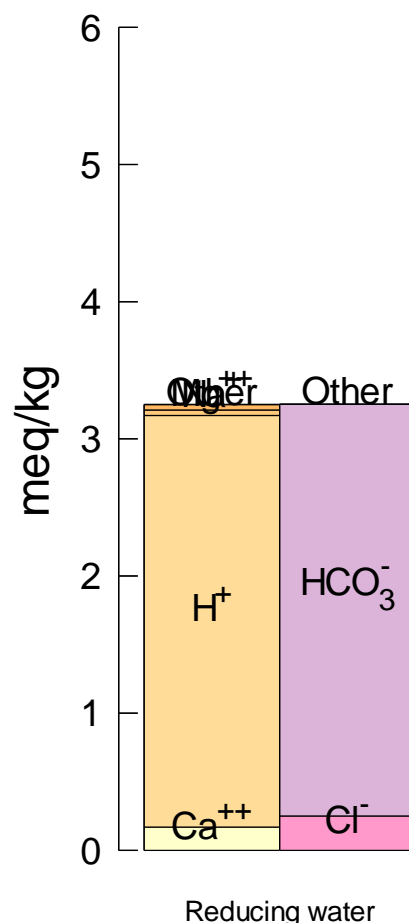
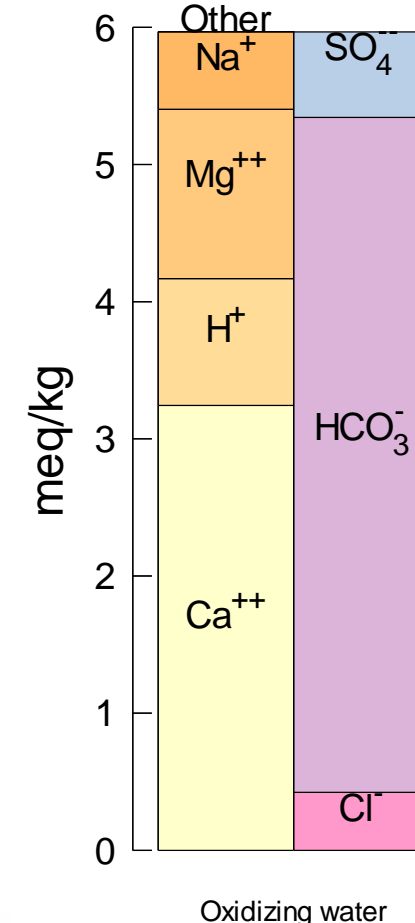
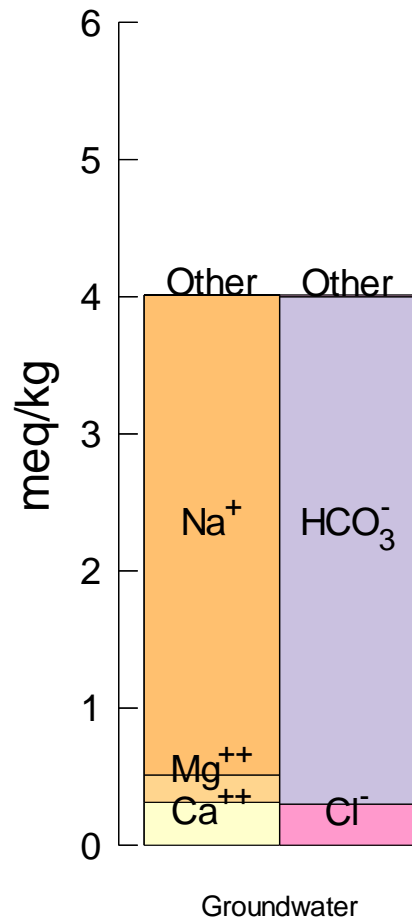
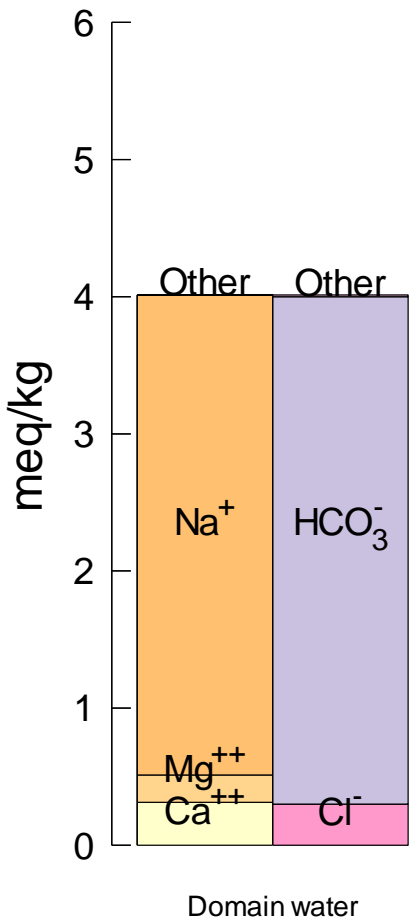
- ❖  $\text{C}^0\text{H}_2\text{O} \rightarrow 0,5 \text{C}^{-\text{IV}}\text{H}_4(\text{aq}) + 0,5 \text{C}^{+\text{IV}}\text{O}_2(\text{aq})$
- ❖  $\text{C}^0\text{H}_2\text{O}(\text{aq}) + \text{H}_2\text{O} \rightarrow 4 \text{e}^- + 4 \text{H}^+ + \text{C}^{+\text{IV}}\text{O}_2(\text{aq})$

# Volba domény

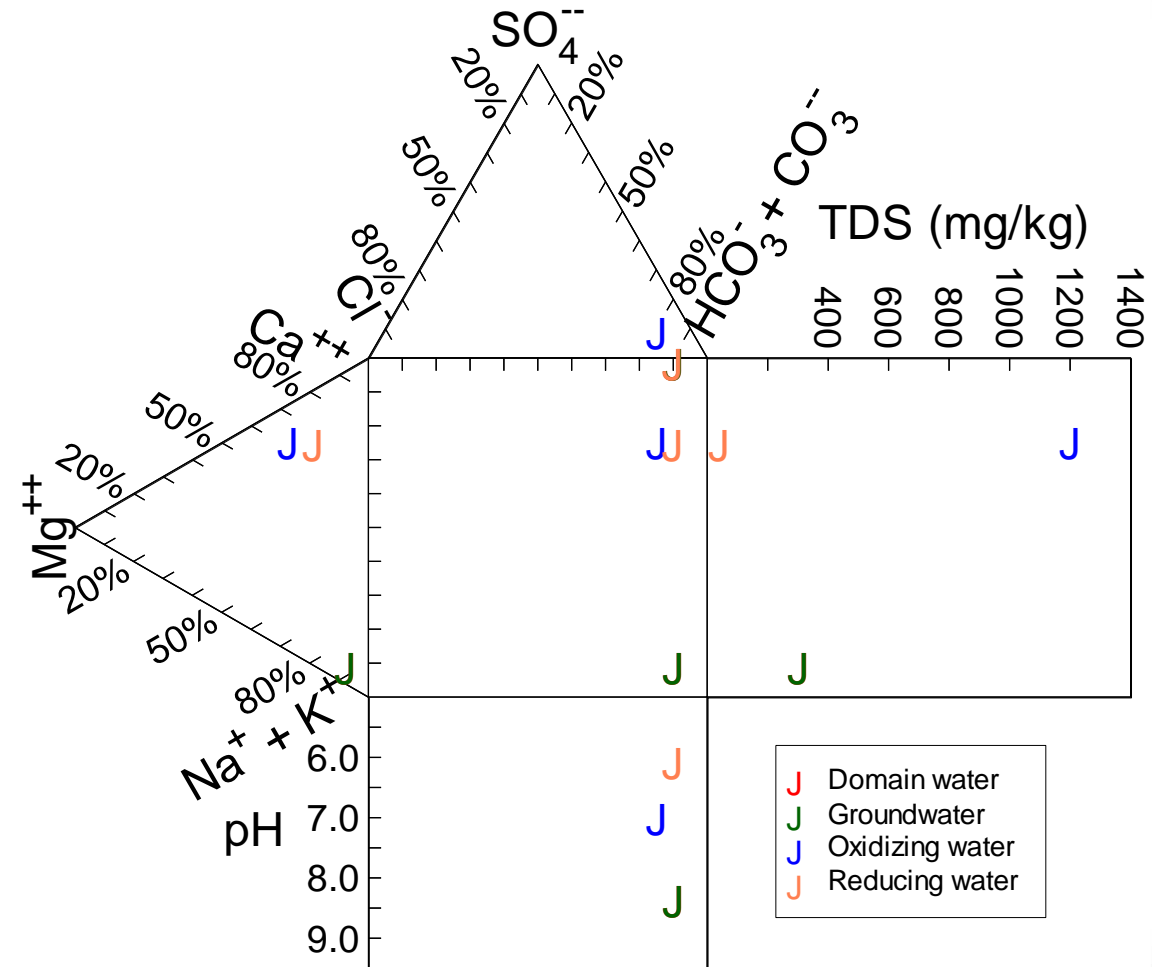
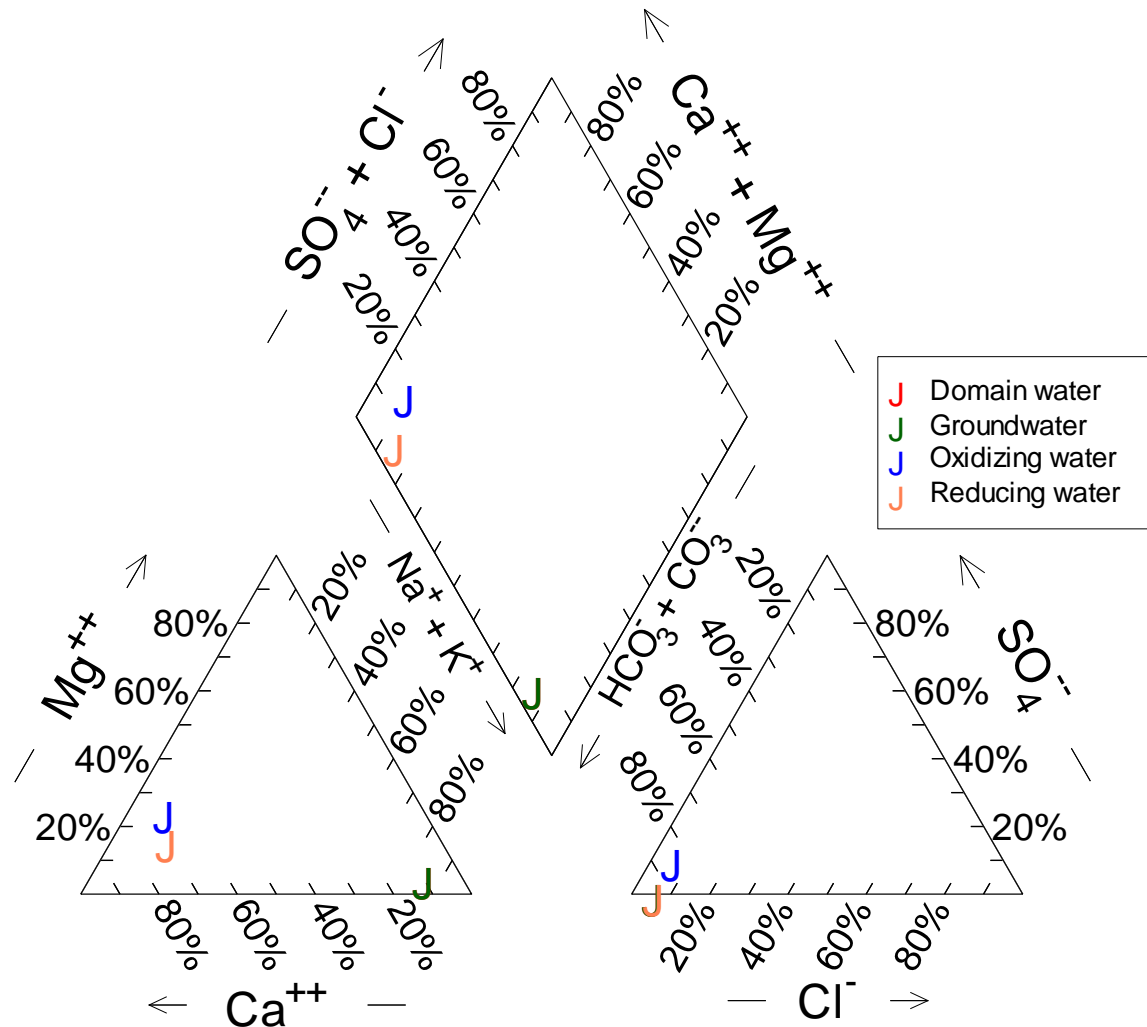


- ❖ Úvodní etapa (lag etapa): 20 let (interval 0–20 let)
- ❖ Oxidační etapa: 130 let (interval 20–150 let)
- ❖ Redukční etapa: 120 let (interval 150–220 let)
- ❖ Etapa „vypláchnutí“ (flush etapa): 80 let (220–300 let)

# Složení vod

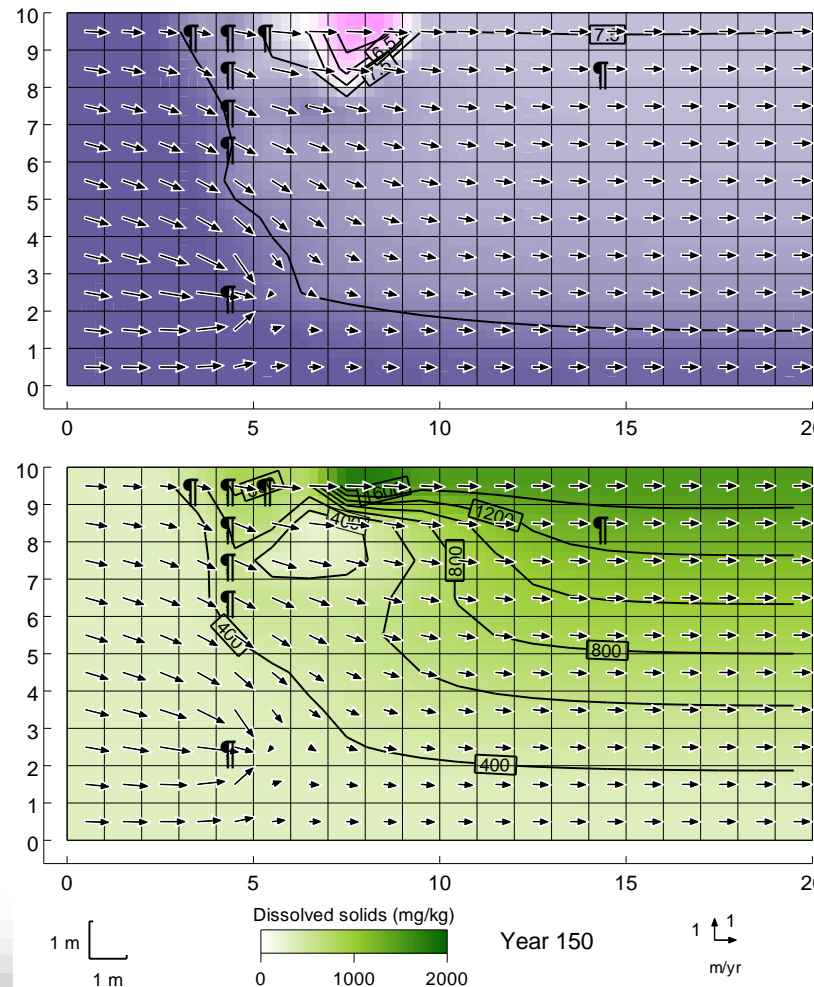


# Složení vod

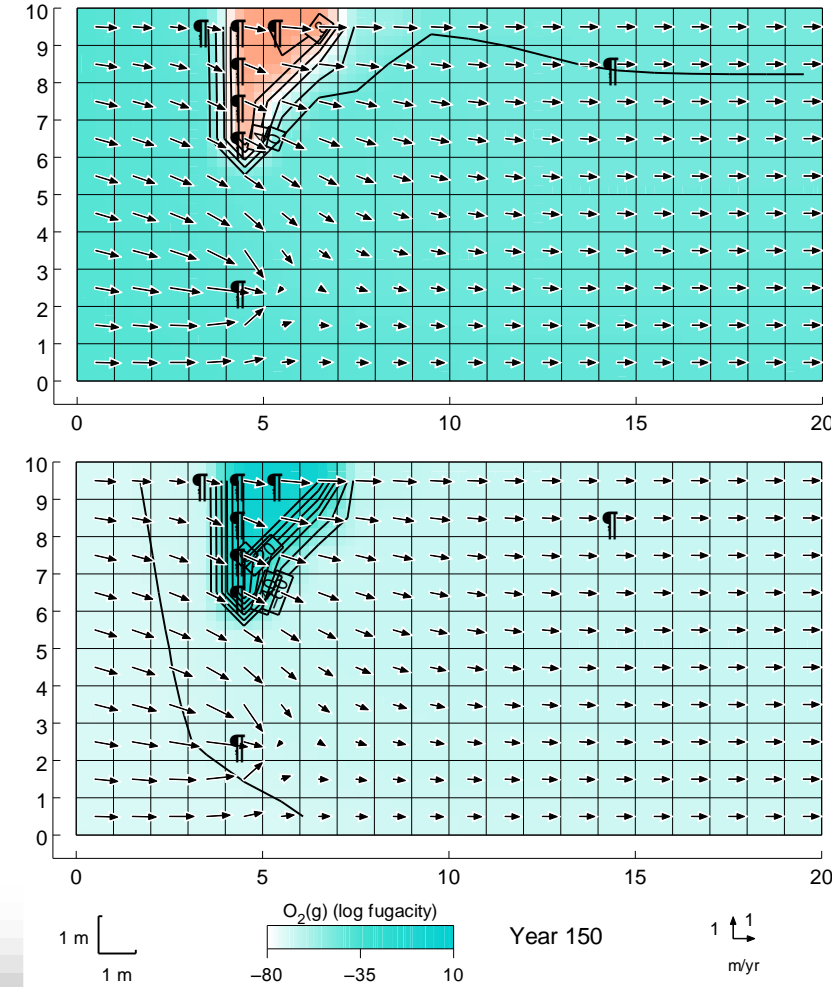


# Vývoj po 150 letech

❖ pH a TDS

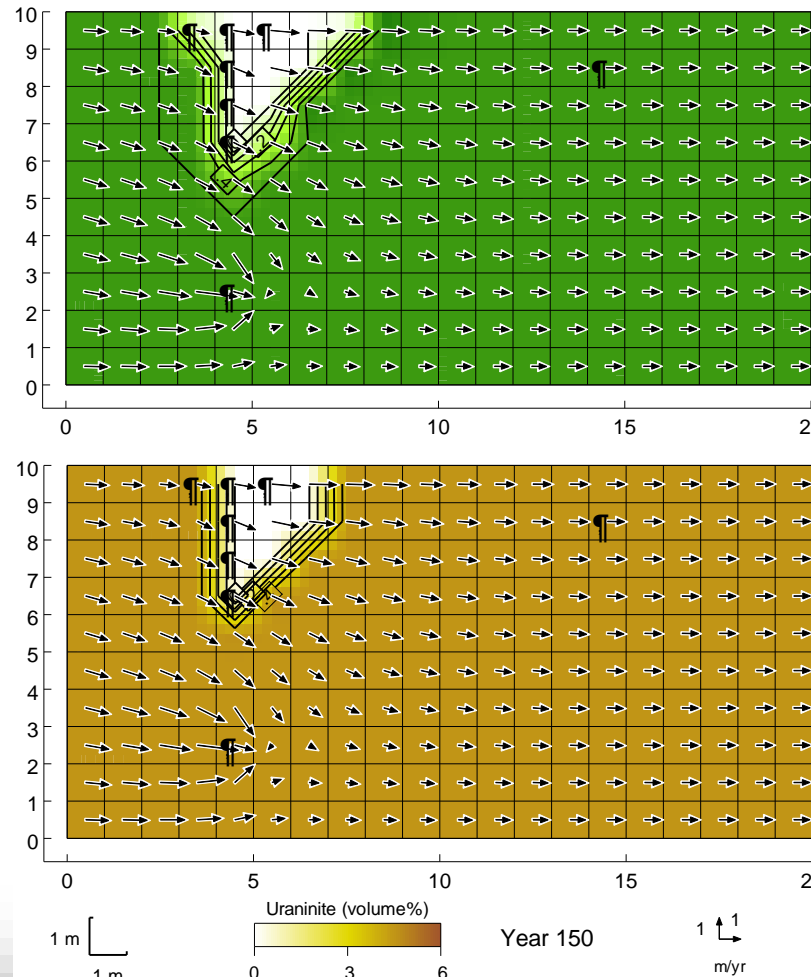


❖ Eh a  $f_{O_2}$

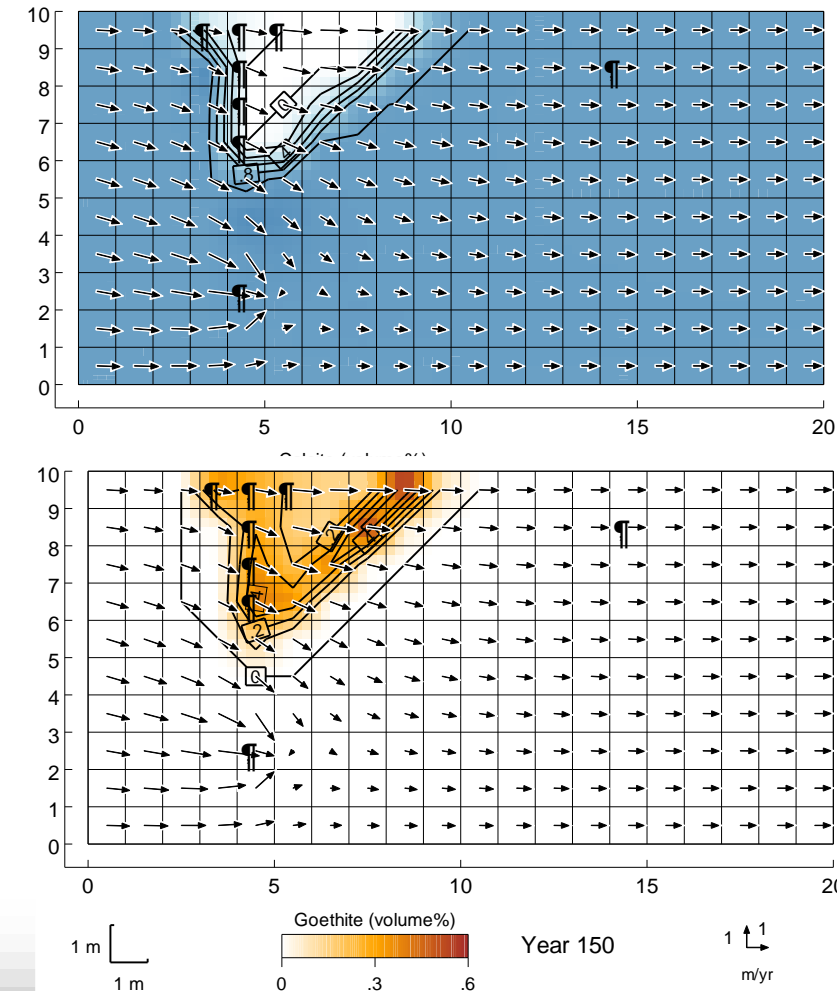


# Vývoj po 150 letech

## ❖ pyrit a uraninit

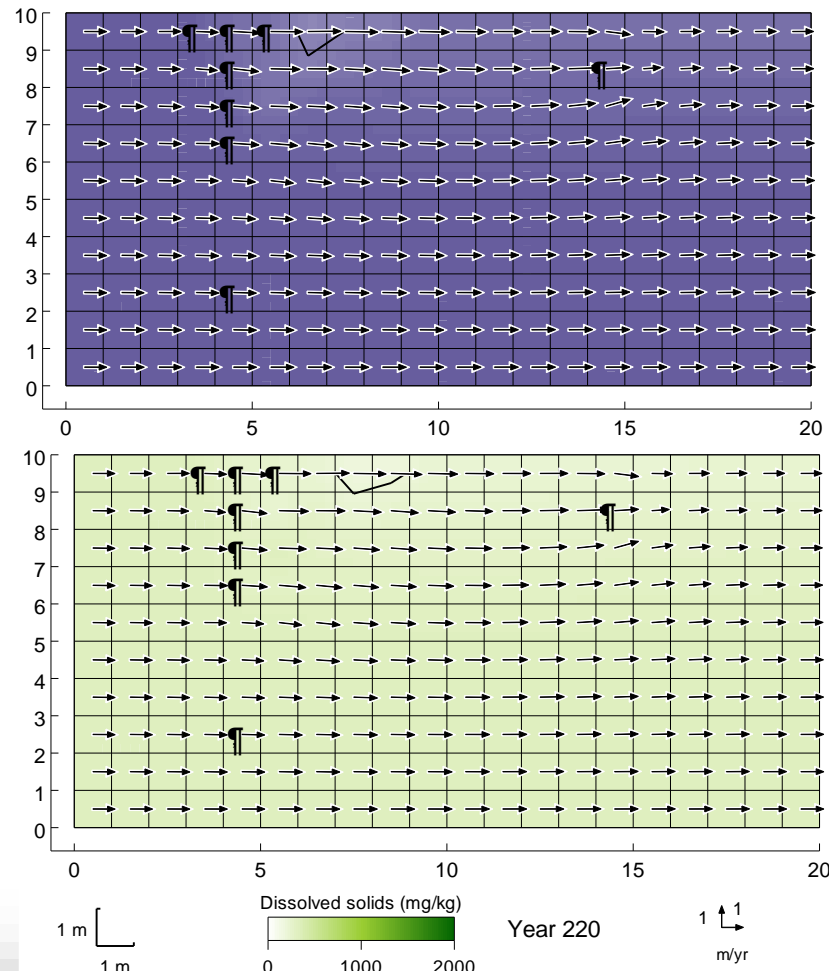


## ❖ kalcit a goethit

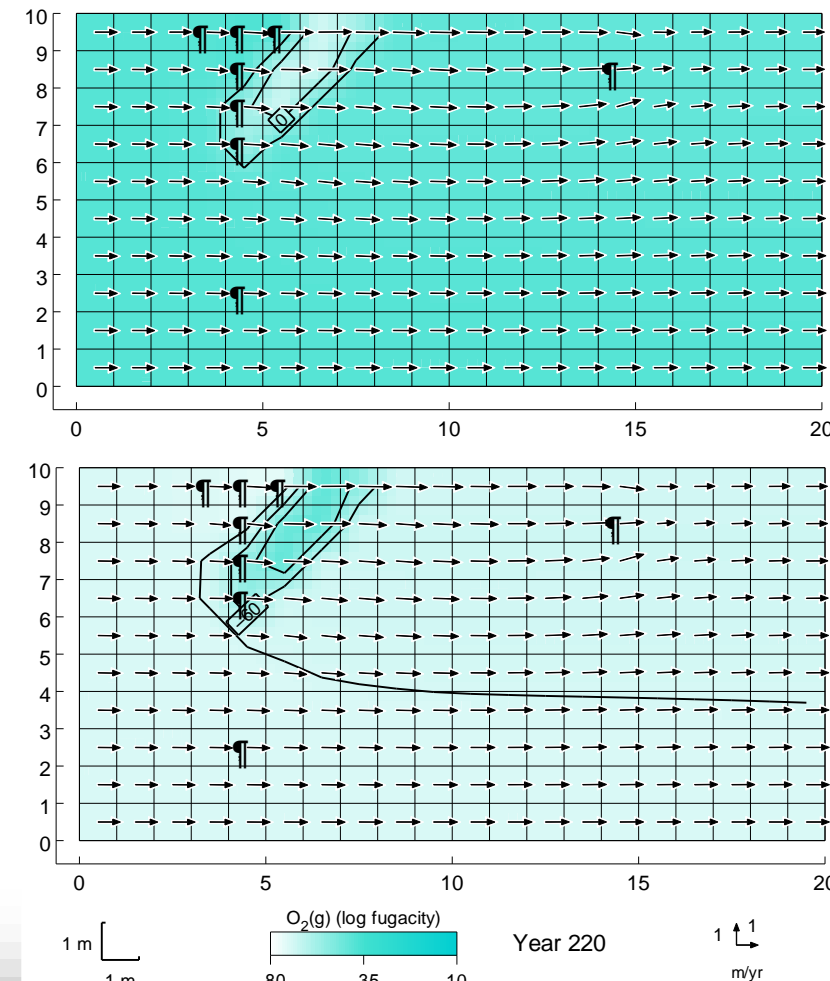


# Vývoj po 220 letech

❖ pH a TDS

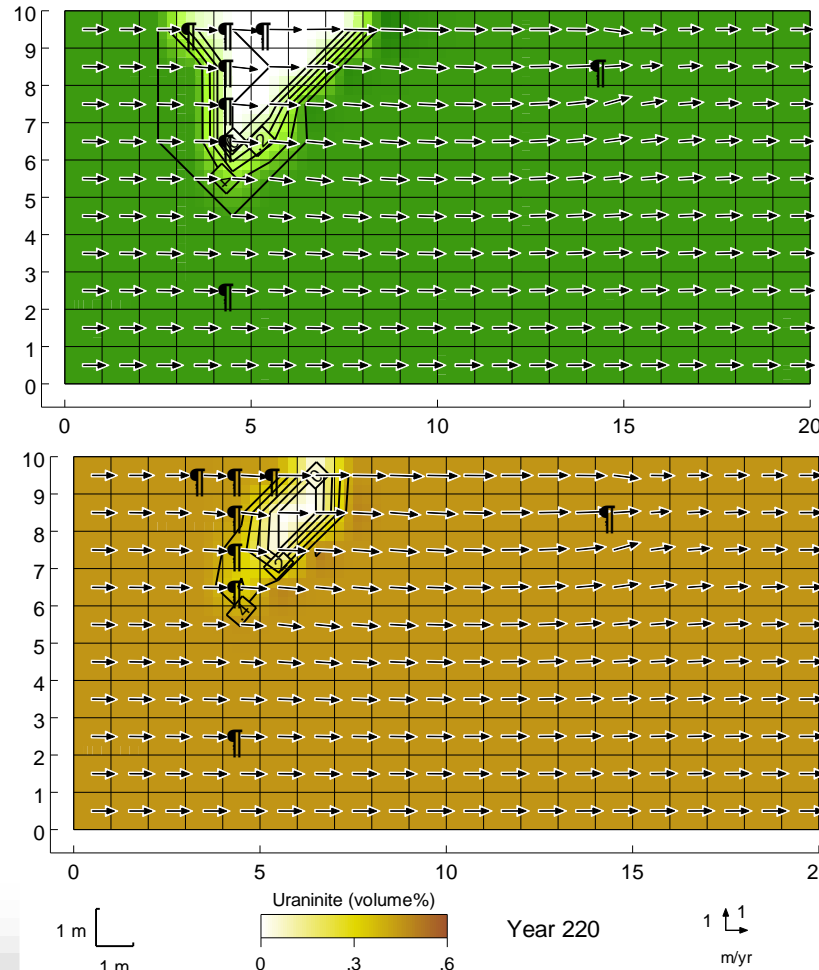


❖ Eh a  $f_{O_2}$

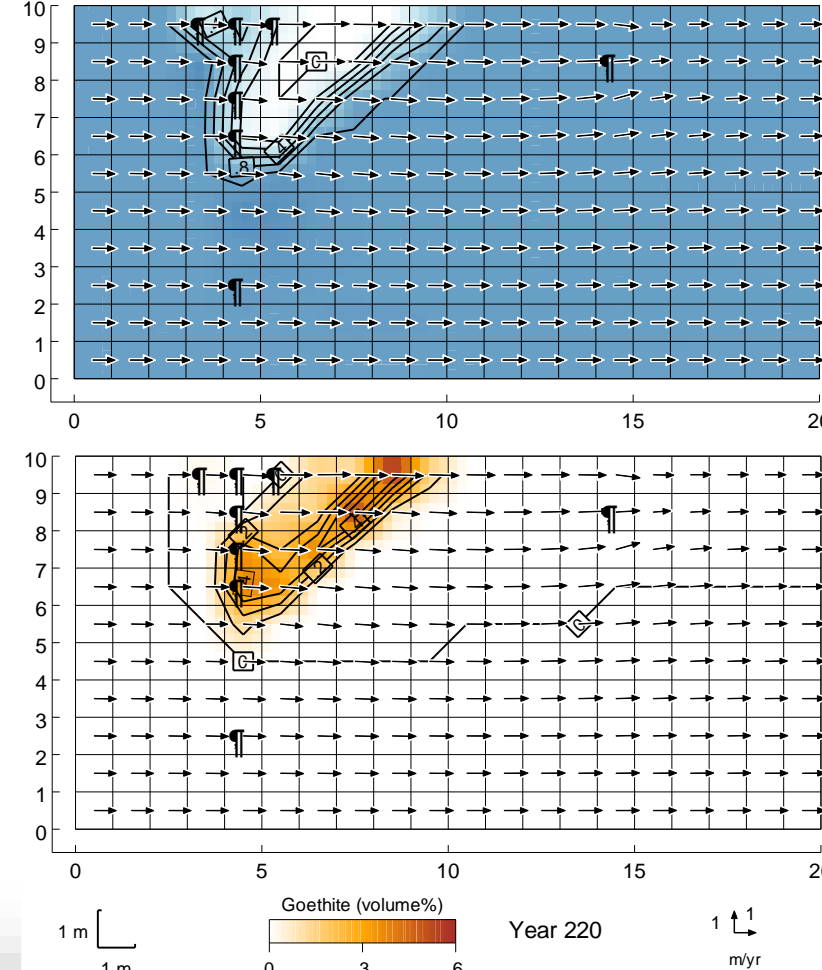


# Vývoj po 220 letech

## ❖ pyrit a uraninit

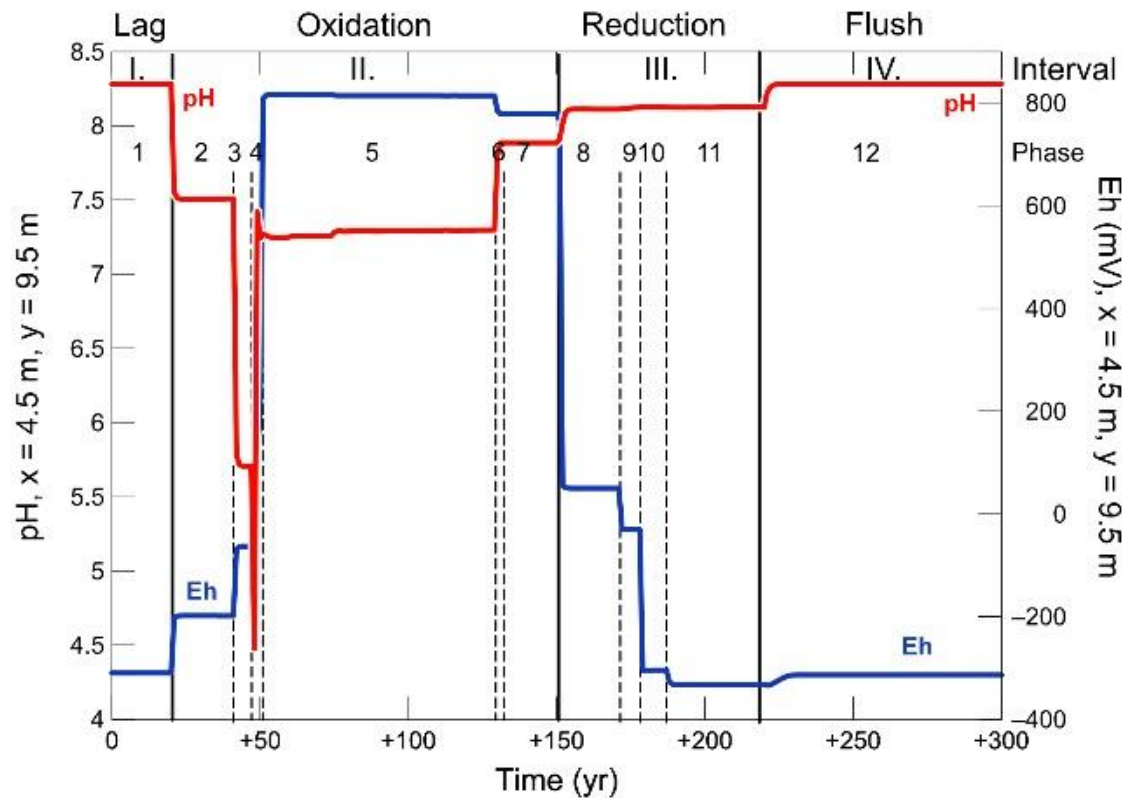


## ❖ kalcit a goethit

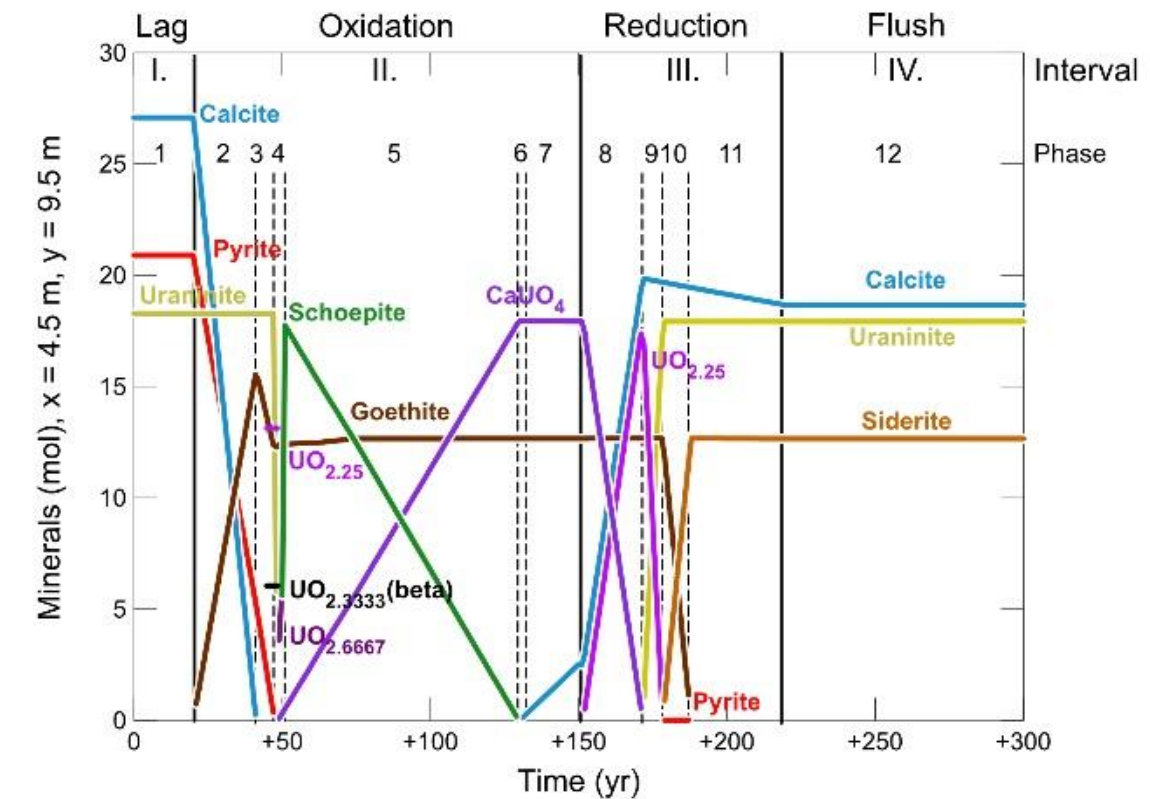


# Časový vývoj v jedné buňce

## ❖ pH a Eh

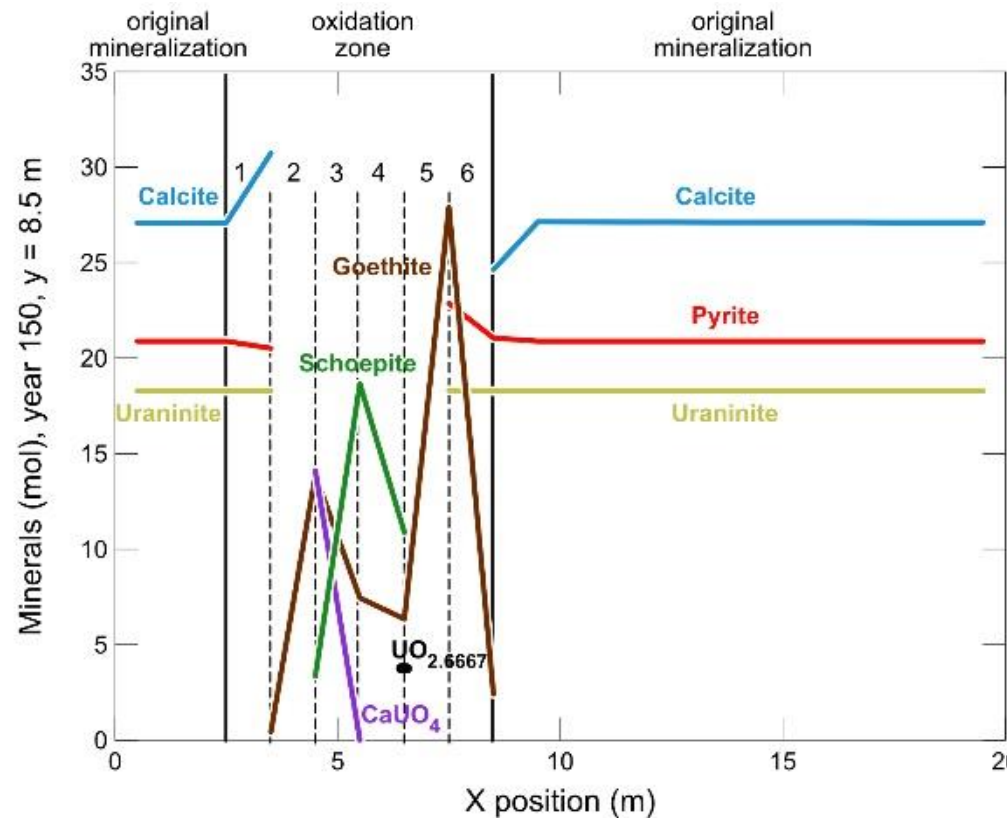


## ❖ minerály

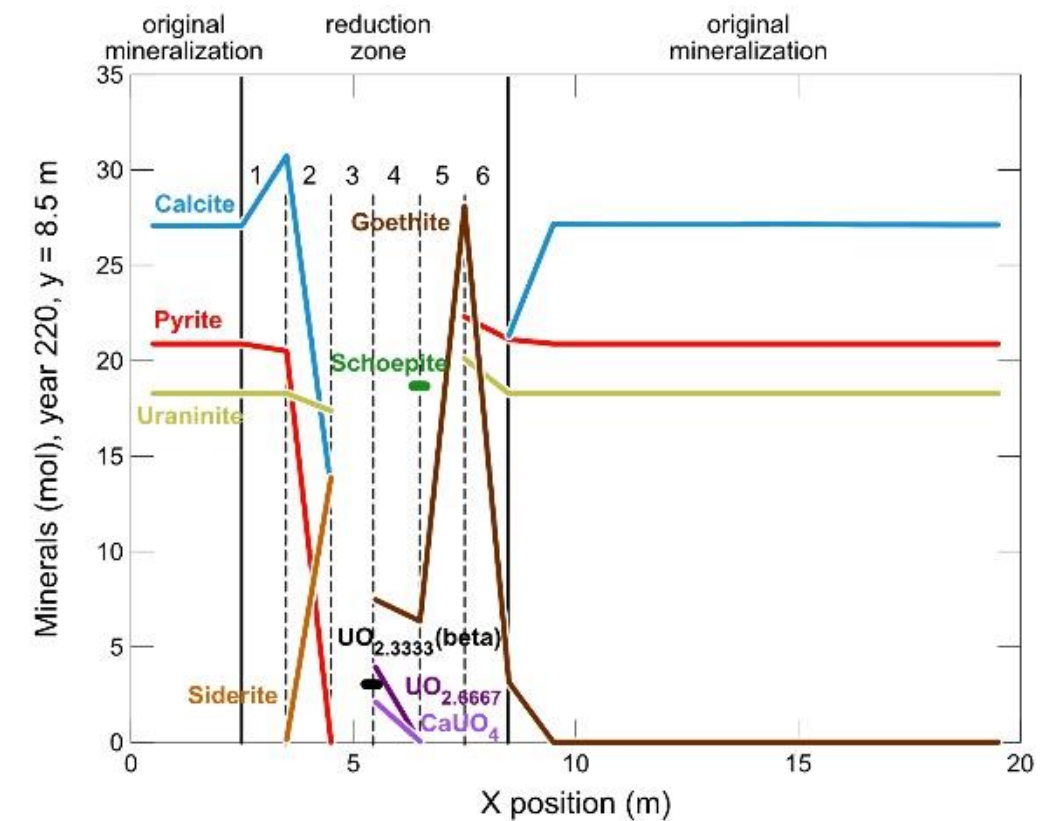


# Vývoj v profilu v určitém čase

❖ 150 let

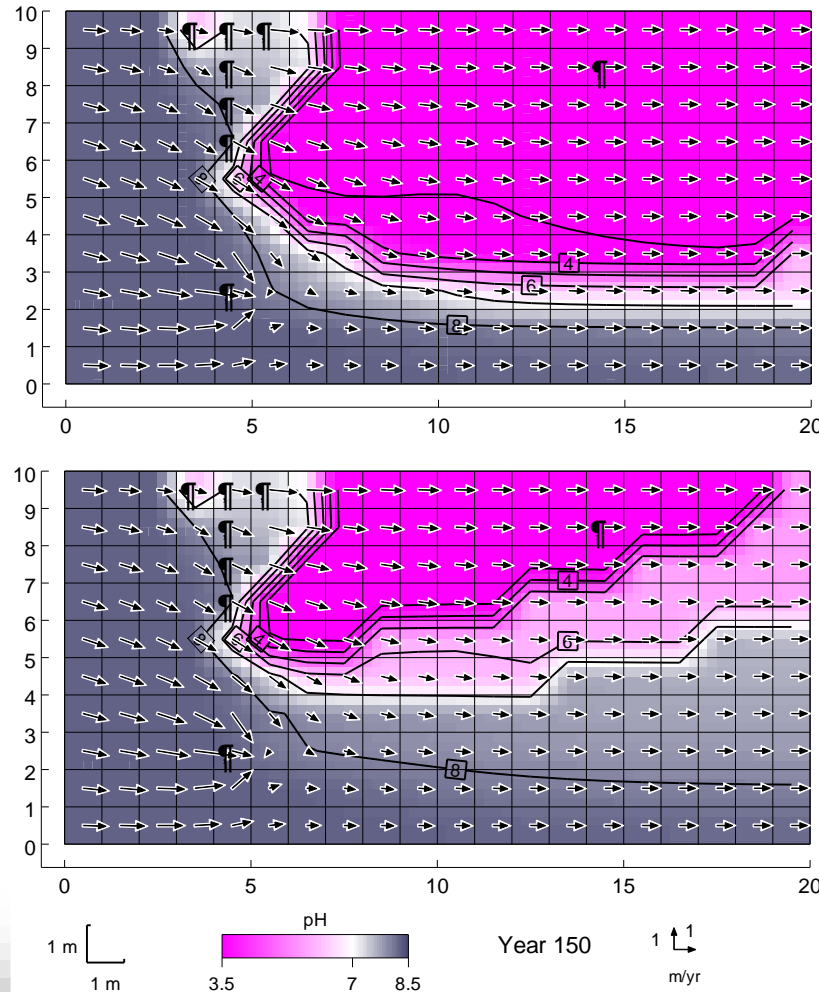


❖ 220 let

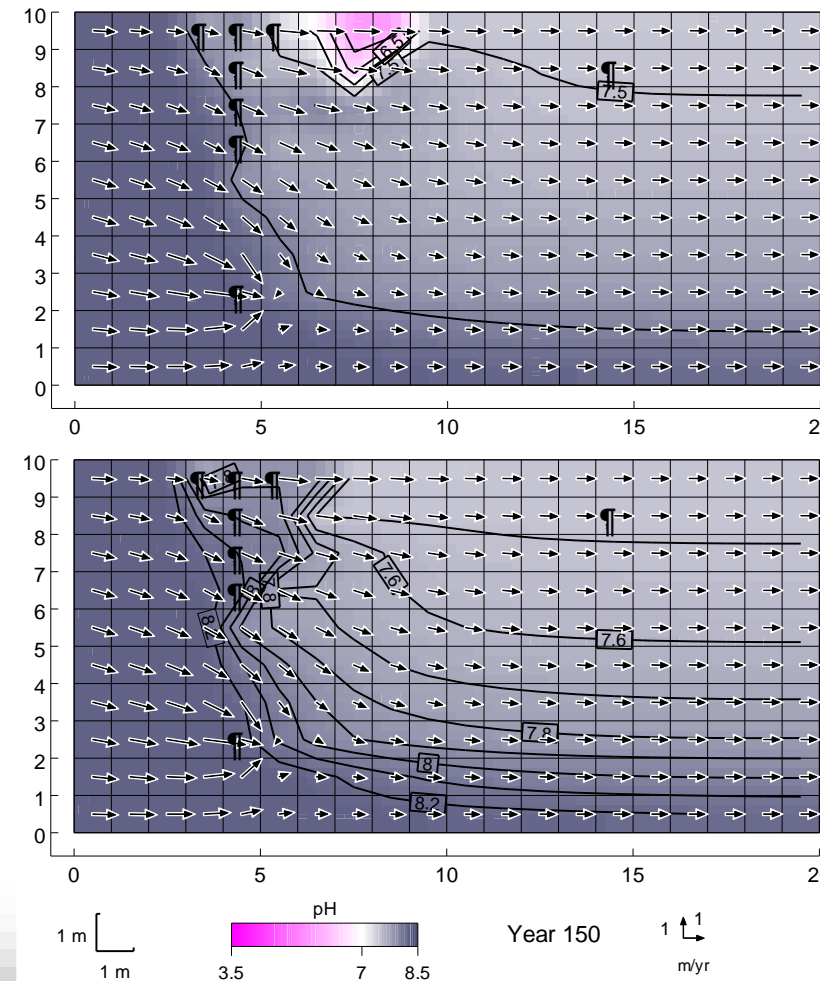


# Vliv zastoupení minerálů v doméně na pH

❖ kalcit 0,01 a 0,10 obj. %

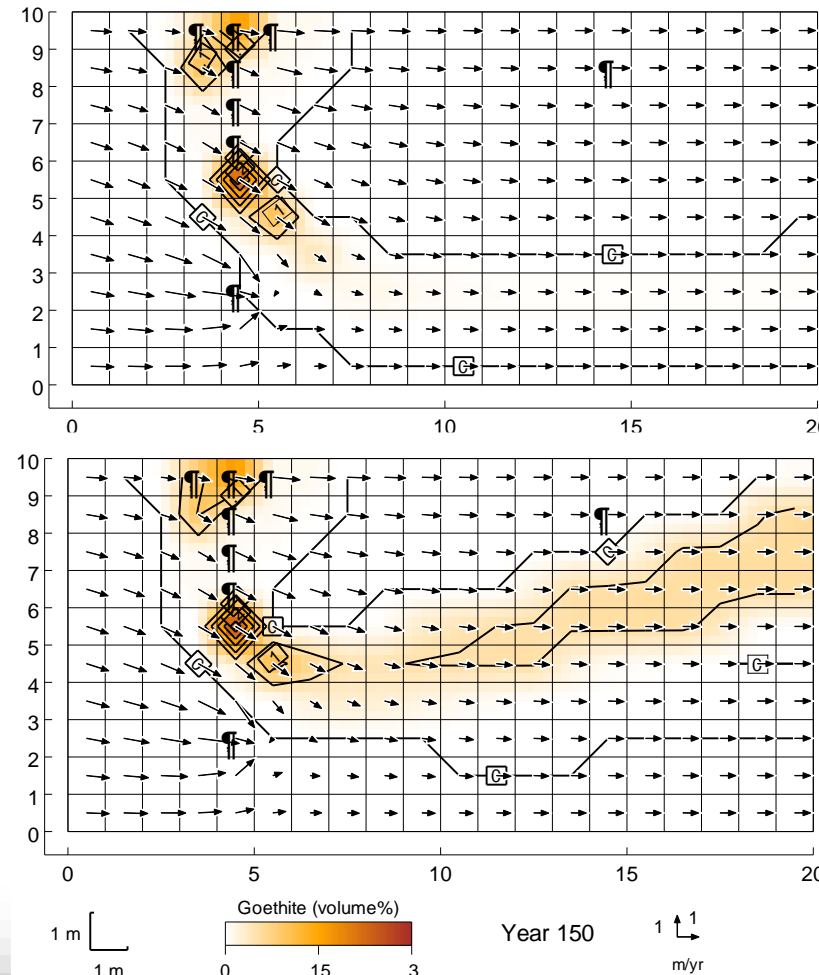


❖ kalcit 1,0 a 5,0 obj. %

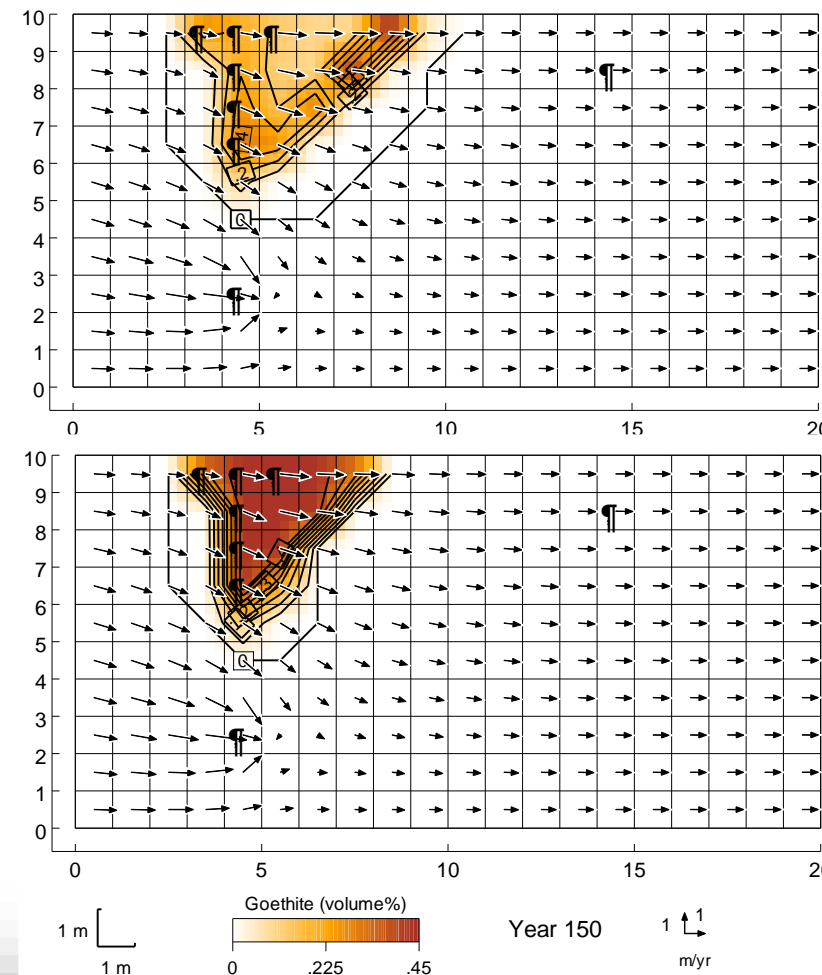


# Vliv zastoupení minerálů v doméně na tvorbu goethitu

❖ kalcit 0,01 a 0,10 obj. %



❖ kalcit 1,0 a 5,0 obj. %



# Časová náročnost výpočtu

základní doména s 200 buňkami				
krok	interval	jeden krok	počet kroků	doba výpočtu
	rok	hod.	mil	hod.
1.90E-06	300	5.0	157.9	3.2
7.62E-07	300	2.0	393.7	7.2
3.80E-07	300	1.0	789.5	14.0

„zahuštěná“ doména s 800 buňkami				
1.90E-06	300	5.0	157.9	11.69

- ❖ Základní model – interakcí se účastní:
  - ❖ 10 minerálů
  - ❖ 324 specií
  - ❖ 29 plynů
- ❖ Zjednodušený model (koncentrace  $> 1 \times 10^{-6}$  mol l $^{-1}$ ):
  - ❖ 10 minerálů
  - ❖ 28 specií
  - ❖ 8 plynů

# Zjednodušení modelu

úplný model				
krok	interval	jeden krok	počet kroků	doba výpočtu
	rok	hod.	mil	min.
1.90E-06	300	5.0	157.9	189.4
zjednodušený model				
1.90E-06	300	5.0	157.9	27.5
4.57E-05	300	120.1	6.6	1.3
9.13E-05	300	239.9	3.3	0.7

- ❖ Připraven transportně-reakční model
  - ❖ acidobazické reakce
  - ❖ oxidačně-redukční reakce
  - ❖ oxidační rozpouštění a srážení minerálů
  - ❖ redukční rozpouštění a srážení minerálů
- ❖ Připraven postup zjednodušení transportně-reakčního modelu
  - ❖ zkrácení výpočetního času na 1/260
  - ❖ zachována výpovědní hodnota modelu
- ❖ Využití superpočítáče IT4I dává naději na simulaci vývoje reálného horninového prostředí.

Děkuji za pozornost

